

УДК 621.373 : 535+535.2 : 548.0

ГЕНЕРАЦИЯ ВТОРОЙ ГАРМОНИКИ  
РАЗЛИЧНО ПОЛЯРИЗОВАННЫХ ВОЛН НАКАЧКИ  
В КРИСТАЛЛАХ КЛАССОВ 6, 4, 6 $mm$ , 4 $mm$ , 622 и 422  
ПРИ ВЕКТОРНОМ СИНХРОНИЗМЕ

Бокутъ Б. В., Добржанский Г. Ф., Казак Н. С., Лугина А. С.,  
Надененко А. В.

Предложен метод осуществления нелинейного преобразования частоты в кристаллах перечисленных классов при  $oe-e$  и  $ee-e$  видах векторного взаимодействия, для которых, как считалось, эффективный коэффициент нелинейного взаимодействия равен нулю. Рассчитаны параметры процесса генерации второй гармоники в йодате лития для различных экспериментальных условий. Экспериментально показано, что в  $\text{LiJO}_3$  эффективность преобразования в этом случае сравнима с обычно использовавшимися  $oo-e$  или  $oe-e$  видами векторного и коллинеарного синхронизма.

Одноосные кристаллы классов 6, 4, 6 $mm$ , 4 $mm$  обычно используют для преобразования частоты в области их прозрачности, если осуществляется нелинейное взаимодействие двух обыкновенных и одной необыкновенной волн (I тип взаимодействия волн). Для видов взаимодействия, в которых участвуют две необыкновенные и одна обыкновенная волны (II тип взаимодействия), эффективный коэффициент нелинейного взаимодействия  $d_{\text{эфф}}$ , в соответствии с [1], обращается в нуль как для коллинеарного, так и для векторного фазового синхронизма. При работе вблизи края полосы поглощения кристаллов, когда нарушаются условия Клейнмана, в них можно осуществлять второй тип взаимодействия волн [2, 3], однако величина  $d_{\text{эфф}}$  существенно (на порядок и более) меньше  $d_{\text{эфф}}$  для первого типа. В данной работе исследована возможность осуществления нелинейного взаимодействия двух необыкновенных и одной обыкновенной волн в кристаллах указанных классов, когда выполняются условия Клейнмана, при векторном фазовом синхронизме за счет определенного выбора взаимного пространственного расположения волновых векторов взаимодействующих волн и оптической оси кристалла. Эффективный коэффициент нелинейного взаимодействия становится в этом случае отличным от нуля и сравнимым с  $d_{\text{эфф}}$  для первого типа взаимодействия. Максимальный эффект достигается, если плоскость, содержащая волновые векторы взаимодействующих волн (обозначим ее  $Q$ ), перпендикулярна плоскости  $R$ , в которой расположены оптическая ось  $Z$  кристалла и волновой вектор преобразованного излучения. Подобная геометрия эксперимента, рассматриваемая далее в работе как для I, так и для II типа взаимодействия волн, приводит к существенно отличающимся от приведенных в [1] выражениям для  $d_{\text{эфф}}$ , рассчитанным нами для всех классов кристаллов.

Сравнение полученных выражений с приведенными в [1, 2] показывает, что рассматриваемая геометрия позволяет дополнительно осуществить типы нелинейного взаимодействия, ранее невозможные из-за равенства нулю  $d_{\text{эфф}}$ .

В частности, в кристалле  $\text{LiJO}_3$ , относящемся к классу 6, выражения для эффективного коэффициента нелинейного взаимодействия (при генерации второй гармоники) имеют следующий вид:

для коллинеарного  $oo-e$  вида взаимодействия волн

$$d_{\text{эфф}} = \chi_{15} F_1,$$

где

$$F_1 = \sin \Theta', \quad \operatorname{tg} \Theta' = \frac{n_{2o}^2}{n_{2e}^2} \operatorname{tg} \Theta,$$

$\Theta$  — угол фазового синхронизма;  $n_{1o}$ ,  $n_{1e}$ ,  $n_{2o}$ ,  $n_{2e}$  — главные значения обычного (индекс  $o$ ) и необыкновенного (индекс  $e$ ) показателей преломления на основной (индекс 1) и удвоенной (индекс 2) частотах соответственно.

При генерации второй гармоники с использованием векторного синхронизма для  $oo-e$  вида взаимодействия волн

$$d_{\text{зф}} = \chi_{15} \cdot F_2,$$

где

$$F_2 = \sin \Theta'_2 \cdot \cos \delta, \quad \operatorname{tg} \Theta'_2 = \frac{n_{2o}^2}{n_{2e}^2} \operatorname{tg} \Theta_2,$$

$\Theta_2$  — угол между оптической осью кристалла и волновым вектором второй гармоники,  $\delta$  — угол между проекциями волновых векторов волн основной частоты на плоскость  $XOY$ . Для  $oe-e$  вида векторного взаимодействия волн

$$d_{\text{зф}} = -\chi_{15} \cdot F_3,$$

где

$$F_3 = \sin \Theta'_{1e} \cos \Theta'_2 \cdot \sin \delta_o + \cos \Theta'_{1e} \cdot \sin \Theta'_2 \cdot \sin (\delta_o + \delta_e).$$

Здесь  $\Theta'_{1e}$  — угол между осью  $Z$  и волновым вектором необыкновенной волны частоты  $\omega$ ;  $\delta_o$  и  $\delta_e$  — углы между проекциями волновых векторов соответ-

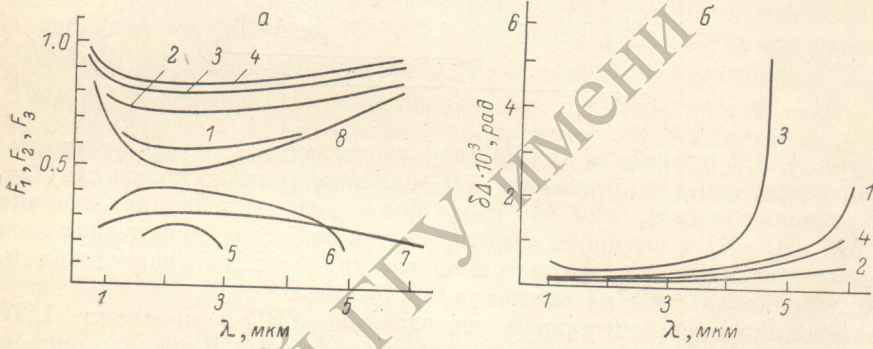


Рис. 1. Зависимость параметров  $F_1$ ,  $F_2$ ,  $F_3$ , угловых ширин синхронизма  $\delta\Delta$ ,  $\delta\Theta_2$  от длины волн лазерного излучения при ГВГ в кристалле  $\text{LiJO}_3$ .

Кривые 1, 2, 3, 4 на рис. 1, а ( $\Theta_2=30^\circ$ ,  $50^\circ$ ,  $70^\circ$ ,  $90^\circ$ ) и 1, 2 на рис. 1, б, в ( $\Theta_2=45^\circ$ ,  $90^\circ$ ) соответствуют векторному  $oo-e$  взаимодействию; кривые 5, 6, 7 на рис. 1, а ( $\Theta_2=30^\circ$ ,  $50^\circ$ ,  $70^\circ$ ,  $F_3=0$  при  $\Theta_2=90^\circ$ ) и 3, 4 на рис. 1, б, в ( $\Theta_2=45^\circ$ ,  $90^\circ$ ) — векторному  $oe-e$  взаимодействию; кривые 5 (рис. 1, в) и 8 (рис. 1, а) — коллинеарному  $oo-e$  взаимодействию. Для кривых 2 и 4 на рис. 1, в следует пользоваться правой шкалой на оси ординат.

ственными обычновенной и необыкновенной волн основной частоты и проекцией волнового вектора второй гармоники.

Результаты численного расчета функций  $F_1$ ,  $F_2$ ,  $F_3$ , выполненного для  $\text{LiJO}_3$  в спектральной области  $0.9 \div 6.0$  мкм (при некоторых фиксированных значениях  $\Theta_2$ ) для векторного синхронизма, приведены на рис. 1, а. Из них следует, что при определенных условиях  $oo-e$  вид векторного взаимодействия волн сравним по эффективности с  $oo-e$  видами коллинеарного и векторного взаимодействий.

Проведен численный расчет для рассматриваемых случаев процесса ГВГ угловой и частотной ширин синхронизма. В случае коллинеарного  $oo-e$  вида

взаимодействия волн для угловой и частотной ширин синхронизма использовались выражения из [4].

Для векторного  $oo-e$  вида взаимодействия имеем (плоскость  $Q$  перпендикулярна плоскости  $R$ )

$$\delta\Theta_2 = \frac{2.7832\lambda}{\pi l \sin 2\Theta_2 (N_{2e})^3 \left[ \frac{1}{n_{2o}^2} - \frac{1}{n_{2e}^2} \right]},$$

$$\delta\lambda = \frac{2.7832\lambda}{\pi l \left[ \frac{\partial N_{2e}}{\partial \lambda_2} - 2 \cos \frac{\Delta}{2} \frac{\partial n_{1o}}{\partial \lambda} \right]},$$

$$\delta\Delta = \frac{2.7832\lambda}{\pi l \cdot n_{1o} \cdot \sin \frac{\Delta}{2}},$$

где  $\lambda$  — длина волны лазерного излучения,  $\Delta$  — угол между волновыми векторами волн основной частоты,  $N_{ie} = \frac{n_{io} \cdot n_{te}}{\sqrt{n_{io}^2 + (n_{ie}^2 - n_{io}^2) \cos^2 \Theta_2}}$ .

В случае векторного  $oe-e$  вида взаимодействия волн названные параметры определяются из выражений

$$\delta\Theta_2 = \frac{2.7832\lambda}{\pi l \left[ 2 \frac{\partial N_{2e}}{\partial \Theta_2} - \frac{\partial N_{1e}}{\partial \Theta_{1e}} \cdot \frac{\sin \Theta_2 \cdot \cos^2 \Delta_e}{\sin \Theta_{1e}} \right]},$$

$$\delta\lambda = \frac{2.7832\lambda}{\pi l \left[ \frac{\partial N_{2e}}{\partial \lambda_2} - \frac{\partial N_{1e}}{\partial \lambda} \cdot \cos \Delta_e - \frac{\partial n_{1o}}{\partial \lambda} \cdot \cos \Delta_o \right]},$$

$$\delta\Delta = \frac{2.7832 \cdot \lambda \sqrt{N_{1e}^2 + 2N_{1e}n_{1o} \cos \Delta + n_{1o}^2}}{\pi l N_{1e} n_{1o} \sin \Delta}.$$

На рис. 1, б, в приведены для примера зависимости  $\delta\Delta$  и  $\delta\Theta_2$  от длины волны лазерного излучения в диапазоне 0.9–6.0 мкм (длина кристалла  $l=2$  см). Выбор значения угла  $\Theta_2$  (или, что тоже самое, угла  $\Delta$ ) позволяет изменять значения  $\delta\Delta$ ,  $\delta\Theta_2$  и  $\delta\lambda$  в широких пределах и при заданных параметрах лазерного излучения (расходимость, ширина спектра), приблизить процесс нелинейного преобразования частоты к оптимальному режиму.

Проведены экспериментальные исследования ГВГ в кристалле  $\text{LiJO}_3$  при векторном и коллинеарном  $oe-e$  видах взаимодействия. В эксперименте использовался лазер на неодимовом стекле, работающий в режиме модуляции добротности с параметрами  $E=0.07$  Дж,  $\tau=35$  нс, сечением пучка 4 мм, излучение лазера неполяризовано. Для осуществления векторного взаимодействия пучок лазерного излучения с помощью бипризмы разделялся на 2 пучка, пересекающиеся в кристалле йодата лития длиной 15 мм. Наблюдалась фазово-согласованная ГВГ как при коллинеарном, так и при векторном  $oe-e$  виде взаимодействия волн. Измерение эффективности преобразования при коллинеарном синхронизме дало результат, хорошо согласующийся с [3]. Энергетический КПД для этого случая составил  $\eta=0.003\%$ . ГВГ при векторном синхронизме (плоскость  $Q$  перпендикулярна при этом плоскости  $R$ ) протекала значительно эффективнее, КПД по энергии составлял  $\eta=0.2\%$ , т. е. примерно на 2 порядка больше такового при ГВГ, протекающей из-за имеющего место нарушения правила симметрии Клейнмана. Характер поведения  $d_{\text{эфф}}$  при векторном  $oe-e$  виде взаимодействия в зависимости от взаимного расположения плоскостей  $R$  и  $Q$  удобно демонстрировать, используя метод, примененный для изучения векторного синхронизма в кристаллах других классов в работах Г. В. Кривошёцкова и В. И. Строганова (см., например, [5]). Метод заключается в наблюдении углового распределения второй гармоники, получаемой в результате нелинейного взаимодействия пучка излучения основной частоты с частично рассеянным на дефектах передней рабочей грани нелинейного кристалла излучением той же частоты. С этой целью в нелинейный кристалл направлялись два пучка неполяризованного излучения неодимового лазера, пересекающиеся внутри кристалла под углом  $\Delta=4^\circ 20'$ . Два пересекающихся пучка нелинейно взаимодействуют

между собой, а также с излучением, рассеянным на дефектах передней грани кристалла. Динамика изменения углового распределения излучения второй гармоники при повороте нелинейного кристалла, вызывающего изменение угла  $\Theta_2$ , показана на рис. 2.

Распределение интенсивности второй гармоники в двух маленьких кольцах на рис. 2, б, возникающих при  $oe-e$  виде векторного взаимодействия каждого

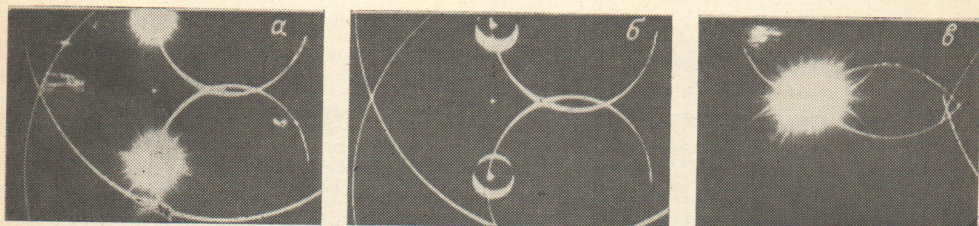


Рис. 2. Динамика изменения углового распределения интенсивности гармоники при повороте нелинейного кристалла.

а — два ярких (верхнее и нижнее) пятна соответствуют ГВГ при прохождении каждого из пучков основной частоты через кристалл для  $oe-e$  вида коллинеарного фазово-согласованного взаимодействия волн ( $\Theta_2=41^\circ 15'$ ); б — маленькие верхние и нижние кольца — результат векторного фазово-согласованного  $oe-e$  взаимодействия каждого из пучков с рассеянным излучением; в — центральное яркое пятно соответствует фазово-согласованной ГВГ при  $oe-e$  векторном взаимодействии между собой двух пучков основной частоты

из падающих пучков лазерного излучения с излучением, рассеянным на дефектах передней грани, соответствует величине  $d_{\text{эфф}}$  как функции угла между плоскостями  $R$  и  $Q$ . Если эти плоскости параллельны между собой, то  $d_{\text{эфф}}$ , в соответствии с [1], равен нулю, а следовательно, и интенсивность второй гармоники на кольце равна нулю. Кольцо оказывается образованным двумя полу-дугами с максимальной интенсивностью второй гармоники, соответствующей случаю, когда указанные плоскости перпендикулярны между собой.

#### Литература

- [1] Цернике Ф., Мидвинтер Дж. Прикладная нелинейная оптика. М.: Мир, 1976.
- [2] Бокутъ Б. В., Хаткевич А. Г. ЖПС, 1967, т. 6, с. 192.
- [3] Okada M., Ieigi S. Phys. Lett., 1971, v. 34A, p. 63.
- [4] Калинцев А. Г., Волосов В. Д., Андреев Р. Б. Опт. и спектр., 1973, т. 35, в. 1, с. 167.
- [5] Кривошеков Г. В., Строганов В. И., Самарин В. И., Тарасов В. М. Опт. и спектр., 1973, т. 34, в. 2, с. 347.

Поступило в Редакцию 12 апреля 1982 г.